

不完全指定順序回路の内部状態数最小化のための LISP 言語プログラム

後 藤 公 雄

LISP Language Program for Minimization of Numbers of Internal States in Incompletely Specified Sequential Machines

Kimio GOTO

Abstract

In this paper, the program using LISP language to realize the minimization of numbers of internal states in the incompletely specified sequential machines in accordance with simpler algorithm, that is, GT one which improves several complex difficulties, is proposed. This algorithm especially has changed and improved the contents of three theorems of Rao & Biswas and how to use them. The LISP language program implemented to this new algorithm was drawn up in accordance with μ LISP-86, and run on the MS-DOS in personal computer PC-9801, and the results of run were compared with those in the BASIC language program for the completely same algorithm. As a result, the running speed for obtaining solutions in this LISP language program was proven to be superior to the BASIC one by 5 to 10 times.

1. 緒 言

不完全指定順序回路の内部状態数の最小化については古くから検討されており^{1),2),3),4)}, 最近では Rao & Biswas の方法⁵⁾が知られている。筆者もこれまで種々の検討を行ってきたが、最近 Rao & Biswas の方法の複雑さを改善する方法として GT 法を開発し報告した⁹⁾。本論文ではこの GT 法のアルゴリズムを用いて実際に作成した LISP 言語プログラムについて述べる。このプログラムの演算速度は BASIC 言語によるものよりも 5~10 倍まで改善されている。

2. 内部状態数の最小化のアルゴリズム

図 1 のフローチャートに従い GT 法のアルゴリズムの概要を述べる。

〔手順 1〕 不完全指定順序回路の状態遷移表上の異なる 2 つの現在の内部状態を比較して遷移先内部状態対を探し出し、出力両立するものと、しないものを区

別して Implication Table (以後 IMPT と呼ぶ) に記入し、両立性対 (以後 CP と呼ぶ) を求める。

〔手順 2〕 CP の集合から最大両立性クラス (以後 MC と呼ぶ) を求める。MC はそれを構成する全ての内部状態対が CP であって他の如何なる両立性クラスにもカバーされないものを言う。

〔手順 3〕 MC の全ての部分集合である Primary Compatible Class (以後 PC と呼ぶ) と、その PC のインプリケーションする全ての CP からなる閉包対集合 (以後 EP と呼ぶ) を求める。

〔手順 4〕 IMPT より求まった CP 同士をそのインプリケーション関係を表す矢印線で結んだ Implication chain (以後 IMPC と呼ぶ) を作成する。

〔手順 5〕 IMPC 上で他からインプリケーションされずに他をインプリケーションしている CP, すなわち UCP を調べ、その遷移先の EP 中に自分の内部状態を含む CP があれば、この UCP を除去し、この結果新たに発生した UCP を同じ要領で除去して行き、このような除去ができなくなるまでこれを続ける。このようにして最後に残った IMPC を基本インプリケーション・チェーン (Basic Implication Chain) と呼び (以後略して

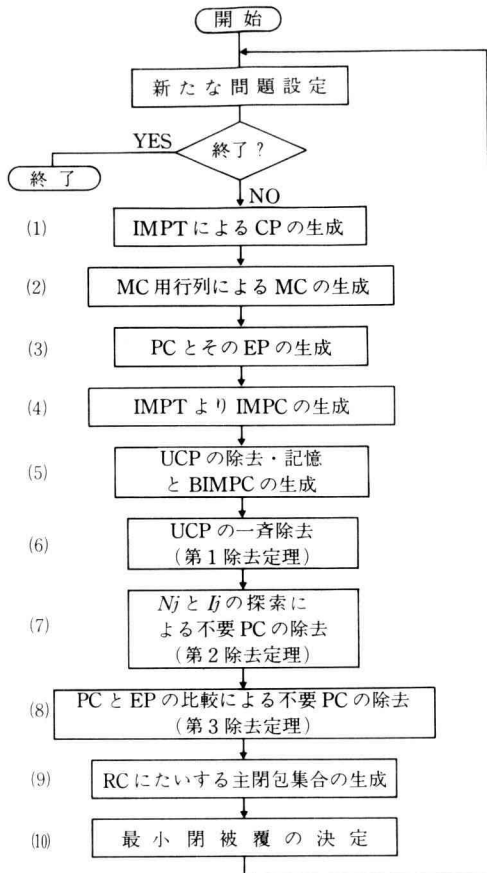


図1. フローチャート
Fig. 1. Flow chart

BIMPCと呼ぶ), また, ここで除去される UCP を弱結合 UCP と呼ぶ。

[手順6] IMPCを作成するときに除去された UCP を記憶しておき, PC の中から一挙に除去する。これは第一除去定理⁹⁾による。

[手順7] 3個以上の内部状態より成る PC (C_i)についてその各内部状態がその PC のインプライする EP に含まれているか否かを調べ, 含まれない内部状態があればその集合を N_j とする。つぎにこの PC に含まれる CP で, BIMPC の内部でインプライされている CP, すなわち ICP に等しくなるもののいくつかの合併集合を I_j とし,

$$C_j = N_j \cup I_j \subset C_i \quad (1)$$

表1 不完全指定順序回路の状態遷移表の一例

Table 1 An example of state transition table of incompletely specified sequential machine

	X_0	X_1	X_2
1	3 0	— —	2 —
2	— —	4 0	6 —
3	5 1	— —	— 0
4	— —	1 1	1 —
5	1 —	— —	6 —
6	4 —	5 —	6 —

であれば, この C_i は除去する。これは第二除去定理⁹⁾による。

[手順8] ある PC (C_i) が他の PC (C_j) の内部状態をすべて含んでおり, かつ C_i の閉包対集合 EP_i が C_j の閉包対集合 EP_j に完全にカバーされるとき, すなわち

$$C_i \supseteq C_j \text{ かつ } EP_i \leq EP_j \quad (2)$$

の場合, C_j を除去する。これは第三除去定理⁹⁾による。これらが全て完了した時点で残った PC を代表的両立性クラス (Representative Compatible Class) と呼ぶ (以後略して RC と呼ぶ)。

[手順9] 得られた各 RC のインプライする EP の各要素を, それを含むそれぞれの RC の集合に置換し, このような RC の集合とインプライ源の RC との間で直積を求め, この直積の各要素をインプライ源の RC に関する主閉包集合と呼ぶ。ついで全ての主閉包集合と全ての元の内部状態の間で被覆関係を調べ, 最小被覆の組を求める。

[手順10] この結果残った主閉包集合の組で閉じているものを採用する。これが最小閉被覆解となる。

つぎに簡単な事例を用いて上のアルゴリズムに従った計算を述べる。表1はある不完全指定順序回路の状態遷移表である。この状態遷移表にたいして IMPT を示すと図2が得られる。この結果, CP の集合として

$$\{56, 14, 12, 26, 16, 34, 45, 36, 23, 25\} \quad (3)$$

が得られる。これは手順1にしたがったものである。ついで手順2として式(3)の CP の集合から MC の集合を求めるとき,

$$\{126, 236, 256, 14, 34, 45\}. \quad (4)$$

1					
26					
	2				
X ₁		レ			
			3		
12	X ₁	レ			
			4		
13X ₂	26	レ	15X ₃	16	
34	45	45	15X ₃	16	5
26					
					6

図2 表1の機械にたいするIMPT

Fig. 2. Implication Table for the machine of Table 1

表2 表1の機械にたいするPCとEP
Table 2 PCs and Those EPs for the machine of Table 1

PC	EP
× 12	26 45 16 34 D 1
× 14	12 26 45 16 34 D 1
← 16	34 26 45 D 3
23	φ
25	φ
← 26	45 16 34 D 3
34	φ
* 36	45 16 34 26 D 1
45	16 34 26
* 56	14 12 26 45 16 34 D 1
→ 126	45 34
* 236	45 16 34 D 2
* 256	45 16 34 14 12 D 2

手順3として、式(4)の部分集合を求め、PCの集合

$$\{12, 14, 16, 23, 25, 26, 34, 36, 45, 56, 126, 236, 256\} \quad (5)$$

が求まり、式(5)の各要素、すなわちPCのインプライするEPを求める、表2のようになる。さらに、手順4として手順1で求めた式(3)の要素となっているCP相互間のインプリケーションの関係より図3に示すIMPCが得られる。手順5として図3のIMPC上で不要なUCPとして、56, 36, 14および12を順次除去用として記憶して行き、最後に一点鎖線で囲む

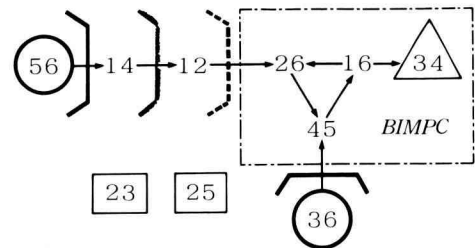


図3 表1の機械にたいするIMPC

Fig. 3. Implication chain for the machine of Table 1

BIMPCが得られる。手順6として手順5で記憶してある不要UCPを一挙に除去する。このように除去されるPCを表2で×印とD1(除去定理1の意味)で示す。手順7として、表2の3個以上の内部状態を含むPCの中で $C_i=236$ に注目すると、26はBIMPCに含まれ、2はEPの要素に含まれないから、

$$I_j=26, N_j=2 \quad (6)$$

であり、式(1)より

$$C_j=26 \subset C_i=236 \quad (7)$$

が成立し、除去定理2より236は除去される。同様に256も除去される。これを表2で×印とD2で示す。手順8として、表2で残ったPC

$$\{16, 23, 25, 26, 34, 45, 126\} \quad (8)$$

に注目すると、たとえば、

$$16 \subset 126 \quad (9)$$

であり、それぞれのインプライするEPの関係は、

$$\{34, 26, 45\} > \{45, 34\} \quad (10)$$

であるから、16は除去される。同様に26も除去される。これを表2で×印とD3(除去定理3の意味)で示す。残ったPC、すなわちRC

$$\{23, 25, 34, 45, 126\} \quad (11)$$

について、

$$\begin{aligned} 23 &= C_1, 25 = C_2, 34 = C_3, \\ 45 &= C_4, 126 = C_5 \end{aligned} \quad (12)$$

として、手順9の主閉包集合を求める、表3が得られる。さらに、表3より $C_4C_3C_5$ は最小閉被覆であることがわかる。この例は、手順9と10については簡単な事例となっているが、実際にはもっと複雑になること

表3 EP の RC による表現と主閉包集合
Table 3 Method to express EPs by using RC and each prime closure set for each RC

RC	EP	主閉包集合
23	ϕ	C_1
25	ϕ	C_2
34	ϕ	C_3
45	16 34 26 ↓ 126	$C_4 C_3 C_5$
126	45 34	$C_5 C_4 C_3$

注) $23 \Rightarrow C_1, 25 \Rightarrow C_2, 34 \Rightarrow C_3, 126 \Rightarrow C_5$

が多い。

3. プログラム化手法

上述したアルゴリズムを用いて LISP 言語プログラムを作成した。サブルーチン用の関数は約 50 個となった。またプログラム作成にあたっては μ LISP-86 の組込み関数を使用した。

つぎにプログラムの作成上配慮した点について述べる。

(1) IMPT の生成

IMPT-CREATE 関数により IMPT を生成する。この関数では、まず IMPT の各セル (CP に対応) の中で最初に出力非両立となるものを IMPT-X1F 関数によって求める。IMPT-X1F 関数は状態遷移表 (以後 STAT-TBL と呼ぶ) の異なる行間の出力値にたいし排他的論理和 LOGXOR をとって出力非両立を判定し、IMPT の対応セルに X1 を記入する。また、それ以外のセルにインプライ先の CP を記入するため IMPT-ELSE 関数を用いる。さらに IMPT の各セルに記入された CP の中で非両立となるものにたいし、 X_n (ここで $n \geq 2$) を記入するため、IMPT- X_n 関数を用いる。この関数は、IMPT のあるセルに X_n を記入すると、それによってさらに他のセルに X_{n+1} を記入することになるので再帰関数として使用される。これらの関数では IMPT 内部や STAT-TBL 内部のセル内容を調べたり、その内容を書き換えたりするので、AREF, F1ND, UNPACK, PACK *, SORT, PUSH などの組込み関数が多用される。なお、IMPT の各セルの内容から、CP の各要素を格納する CC-TBL が求

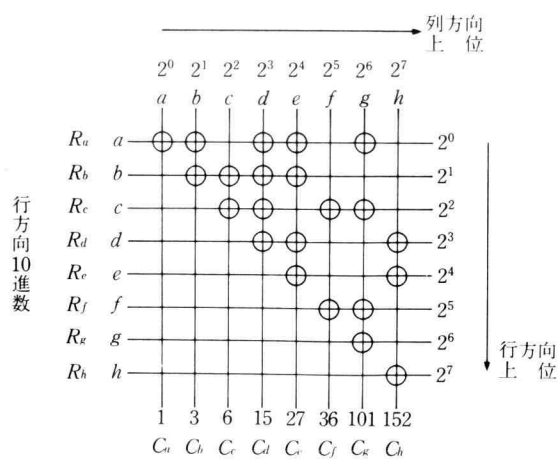


図4 MC 用行列の一例
Fig. 4. An example of MC matrix

まる。

(2) MC と PC の生成

図4 に示すような内部状態に対応する各行線 (たとえば a, b, c, d, e, f, g, h) と各列線 (たとえば a, b, c, d, e, f, g, h) より成り、しかも右上半分のみに○印または数字が記入された MC 用行列がある。この行列では、CP が ij で与えられたとき、 i 行 i 列の交点、 i 行 j 列の交点、および j 行 j 列の交点に○印または数字が記入されている。すべての CP がこのようにして MC 用行列に記入されているものとし、この行列から MC を生成する。

いま、行線と列線の交点上の○印を 1, ○印のない交点を 0 と見なし、最上行の行線を LSB、最下行の行線を MSB とし、最上行から最下行に向かって順に上位のビット値を表すものとし、各列線ごとに 0, 1 で構成された 2 進数を 10 進数に変換する。また、図4 の各行上で、最左列が LSB、順に右の列に移るにしたがい上位ビットとなり、最右列が MSB となるものと考え、最上行を 10 進数で表してみる。このようにして得られた図4 の各列線 a, b, \dots, h を表す 10 進数をそれぞれ C_a, C_b, \dots, C_h とし、各行線 a, b, \dots, h を表す 10 進数を、それぞれ R_a, R_b, \dots, R_h とする。図4 で、たとえば、 C_a と C_b の間、および R_a と C_a の間で LOGAND をとると、

$$C_a \text{ logand } C_b = 1 \text{ logand } 3 = 1, \quad (13a)$$

$$R_a \text{ logand } C_a = 91 \text{ logand } 1 = 1. \quad (13b)$$

同様に C_b と C_d , および R_a と C_b の間で LOGAND をとると,

$$C_b \text{ logand } C_d = 3 \text{ logand } 15 = 3, \quad (14a)$$

$$R_a \text{ logand } C_b = 91 \text{ logand } 3 = 3. \quad (14b)$$

つづいて C_b の代りに C_d , C_d の代りに C_e を入れ換えて同じ操作を繰り返し, 結局,

$$C_a \text{ logand } C_b = R_a \text{ logand } C_a, \quad (15a)$$

$$C_b \text{ logand } C_c \neq R_a \text{ logand } C_b, \quad (15b)$$

$$C_b \text{ logand } C_d = R_a \text{ logand } C_b, \quad (15c)$$

$$C_d \text{ logand } C_e = R_a \text{ logand } C_d, \quad (15d)$$

$$C_e \text{ logand } C_x \neq R_a \text{ logand } C_e. \quad (15e)$$

ここで $x = f, g$, または h .

式(15)の成立より, abde は MC となることは明らかである。このような MC は, すべての行と列について順を追って調べてゆくことにより全部生成でき, MCC-TBL に格納される。また, MC の生成過程で作られる MC の部分集合としての PC は PC-TBL に格納される。

このアルゴリズムを実現するため, MCC-CREATE, MC-TBL; MC-MATRIX, MC-PC-CREATE, MCC-FILTER-SET, MCC-JUDGE および MCC-CORE 関数を用いている。MCC-CREATE 関数はこれらの関数を呼び出すメイン関数である。MC-TBL 関数は MC 用行列の列の 10 進数の格納用であり, MC-MATRIX 関数は CC-TBL から CP 要素 ij を取り出し, これを MC 用行列の $(i, j), (i, j)$ および (j, j) の 3 つの交点に書き込むため, その都度列線 10 進数に変換し相互間で LOGIOR をとるようにし, 得られた列の 10 進数を MC-TBL に格納する。MCC-FILTER-SET 関数は上述した行方向の 10 進数を生成して, これを ELEFILTER 変数に格納する。MCC-JUDGE 関数は上述したアルゴリズムにしたがって, MC-TBL に格納されている列の 10 進数相互間の LOGAND をとり, また列の 10 進数と ELEFILTER 内の 10 進数との LOGAND の比較を行い, PC となるものを選出し, MCC-CORE 関数は真に MC となるもののみを選出している。このプログラムでは, LOGIOR, LOGAND のほかに CHAR-CODE, SHIFT, CODE-CHAR, SUBSTRING, EVAL, INTEGER-LENGTH, PUSH, PUSHNEW, UN-

PACKなどの組込み関数が使用される。

(3) IMPC, PC および EP の生成

IMPC を作成するため, CC-TBL と同じ長さを持った大局変数としての配列リスト IMPC を設定し, CC-TBL 内の要素 CP の位置と同じ IMPC 内の位置に, その CP によってインプリライされる CP を IMPT のセル内から抽出して格納する。このため, MAKE-ARRAY, LENGTH, AREF, CHAR-CODE, UNPACK などの組込み関数を使用する。表 1 の機械にたいする変数 CC-TBL と配列リスト IMPC 内の要素の対応関係を図 5 の (a), (b) に示す。

つぎに PC-TBL の各要素としての PC の位置と同じ位置に EP をリストとして配列する大局変数 EP-TBL を生成する。このため EP-TBL は PC-TBL と同じ長さを持つ。PC-TBL と EP-TBL との一例を図 5(c), (d) に示す。各 EP の生成は PC の長さが 2 のものと 3 以上のものに分けて EP-CREATE 関数で行われる。まず, 長さ 2 の PC については, CC-TBL 上の CP を選び, これを変数 EP-TMP に格納してサブルーチン関数 EP-CREATE-SUB を呼び, IMPC のリストで CC-TBL 上のこの CP に対応する位置にあるものを探し, このリストの中の CP でまだ EP-TMP に含まれていないものを求めて変数 EP-TMP に PUSH する。このように PUSH された CP が NULL でなければ, この CP はまだ他をインプリライし得るので, 再帰的に EP-CREATE-SUB 関数へ戻る。このようにして得られた EP-TMP から最初に設定した PC を除去して EP-TBL の配列要素とする。このプログラムには, MAKE-ARRAY, REMOVE, POSITION, AREF, PUSH, LIST などの組込み関数が用いられる。さらに長さ 3 以上の PC については, EP-ELSE 関数が使用される。この関数を用いて長さ 3 以上の PC を構成する長さ 2 のすべての PC にたいし, すでに作成されている EP-TBL 内のいくつかの EP のリストの合併集合を作り, これを与えられた PC の PC-TBL 内の位置に対応する EP-TBL 位置に格納する。このプログラムには REMOVE, REMOVE-IF, UNION, SORT, POSITION, AREF などの組込み関数が使用される。

(4) BIMPC の生成

すでに生成された CC-TBL, IMPC および EP-TBL を用いて BIMPC と弱結合 UCP を生成する。まず, IMPC で UCP を探し, その UCP を表す PC-TBL 中のリスト位置に対応する EP-TBL のリスト内にこの UCP の内部状態を含む CP があれば, この UCP を

(a) CC-TBL		0	1	2	3	4	5	6	7	8	9	10	11	12
		(12)	14	16	23	25	26	34	36	45	56)		
(b)	IMPC													
	(ARRAY)	↓(26)	↓(12)	↓(26,34)	↓NIL	↓NIL	↓(45)	↓NIL	↓(45)	↓(16)	↓(14)) (10))	
(c)	PC-TBL													
(d)	EP-TBL	↓(12)	↓(14)	↓(16)	↓(23)	↓(25)	↓(26)	↓(34)	↓(36)	↓(45)	↓(56)	↓(126)	↓(236)	↓(256)
	(ARRAY)	(26)	(12)	(26)	NIL	NIL	(45)	NIL	(45)	(16)	(14)	(45)	(45)	(14)
		(45)	(26)	(34)			(16)		(16)	(26)	(34)	(26)	(34)	(12)
		(16)	(45)	(45)			(34)		(34)	(26)	(34)	(45)	(45)	(16)

図5. CC-TBL, IMPC, PC-TBL および EP-TBL の相互関係
Fig. 5. Interrelations between CC-TBL, IMPC, PC-TBL and EP-TBL

DUCP-TBL 変数に記憶し, IMPC の要素を格納しておいた BIMPC-TBL 変数からこの UCP を除去して BIMPC-TBL の内容を更新し, さらに弱結合 UCP を探す。弱結合 UCP が除去されてしまった最後の BIMPC-TBL の内容は完全な BIMPC の集合となる。

(5) 各除去定理による PC の除去

BIMPC の生成中に変数 DUCP-TBL 内に記憶された弱結合 UCP を PC-TBL から組込み関数 REMOVE を用いて一挙に除去するようにして第一除去定理が実行される。

第二除去定理の適用は, PC の内部状態数が 3 以上の場合を対象とすればよいので, PC-TBL から組込み関数 PINT-LENGTH や REMOVE-IF を用いてこのような PC を ELSE-LIST 変数に格納する。これらの PC について NJ-CREATE 関数を呼んで N_j を求め, これを NJ-TBL に格納する。また, $PC = N_j$ のときには I_j の如何にかかわらず, この PC は除去できないから, 組込み関数 UNLESS を用いて $PC \supset N_j$ の場合のみ I_j を選択し, IJ-CREATE 関数によって I_j を求め, IJ-TBL に格納する。さらに組込み関数 UNION を用いて IJ-TBL と NJ-TBL の和集合を求め, その和集合を含む PC を組込み関数 SUBSETP によって確認し, この PC を D2-TBL に記憶し, 最後に組込み関数 REMOVE を用いて PC-TBL から除去する。NJ-CREATE 関数は EP-TBL 内の対応するリストに含まれる要素の中にインプライ源の PC の内部状態

を含まないか組込み関数 FIND により調べる。IJ-CREATE 関数は, BIMPC-TBL 中の UCP を除去し, 残りの要素の中で PC に含まれるものがないか調べる。

第三除去定理の適用にあたっては, PC-TBL 内の残った要素間およびこれらの要素の PC-TBL 上の位置と対応する位置にある EP-TBL 上のリスト相互間の包含関係を組込み関数 SUBSETP を用いて確認することによって行われる。

EP ₄							
	RC ₀	EP _{4,1}	EP _{4,2}	EP _{4,3}	EP _{4,4}	EP _{4,5}	
	fg	de	ae	be	ab	ad	
RC ₀ =	ag				⊕		
RC ₁ =	bc		⊕	⊕			
RC ₂ =	de		⊕		⊕	⊕	
RC ₃ =	dh		⊕		⊕		
RC ₄ =	fg		⊕				
RC ₅ =	deh		⊕		⊕	⊕	
RC ₆ =	abde		⊕	⊕	⊕	⊕	
	16	100	75	66	37	76	36

図6. 主閉色集合行列の一例

($i=4$, $j=1 \sim 6$, $k=0 \sim 6$)

Fig. 6. An example of prime closure set matrix
(for $i=4$, $j=1 \sim 6$, and $k=0 \sim 6$)

(6) 最小閉被覆の決定

最後まで残った PC, すなわち RC にたいする主閉包集合を生成する。この主閉包集合は、RC とそれのインプリケーションする EP の要素 CP をカバーする RC の集合との直積によって求まる。ここで、与えられた RC_i に

たいする EP の要素 CP を表す列線 $EP_{i,j}$ と、その行線 RC_k とよりなる主閉包集合行列を図 6 に示す。このプログラムでは各列線上の RC_k の存否に対応して 1, 0 を与え、最上行を LBS, 最下行を MSB とし、上行から下行に向かってビットの重み付けが上がるものとし

Problem No.4

START-TIME=0

```

状態遷移表
(ARRAY ((1 (3 0) (- -) (2 -)) (2 (- -)) (4 0) (6 -)) (3 (5 1) (- -) (- 0)) (4 (- -)) (1 1) (1 -)) (5 (1 -) (- -) (6 -)) (6 (4 -) (5 -) (6 -)) (6 4))

IMPLICATION TABLE
(ARRAY (((26) NIL NIL NIL NIL NIL) ((X1) NIL NIL NIL NIL) ((12) (X1) NIL NIL NIL) ((X2 26 13) NIL (X3 15) (16) NIL) ((26 34) (45) (45) (X3 16 15) (14))) (5 5))

両立性クラス
(12 14 16 23 25 26 34 36 45 56)

最大両立性クラス
(45 34 256 236 14 126)

PRIMALY COMPATIBLE CLASS
(12 14 16 23 25 26 34 36 45 56 126 236 256)
MCC_PC-TIME=200

IMPLICATION CHAIN
(ARRAY ((26) (12) (26 34) NIL NIL (45) NIL (45) (16) (14)) (10))

閉包対集合
(ARRAY ((34 16 45 26) (34 16 45 26 12) (45 34 26) NIL NIL (34 16 45) NIL (34 26 16 45) (34 26 16) (34 16 45 26 12 14) (34 45) (34 16 45) (34 16 45 12 14)) (13))
EP-TIME=200
((25 23) (16 23 25 26 34 45))
BIMPC-TIME=200

除去されたUC対 (D1)
(12 14 56 36)
D2
(256 236)
D3
(26 16)

代表的両立性クラス
(23 25 34 45 126)
RC-TIME=200

最小被覆の構成要素
(((3 2 4) (2) (1) (0)))
((1 13 11 3 5 1))
COVER2-TBL
((3 2 4))

最小状態機械
((45 34 126))

END-TIME=300

```

図 7. 実行結果の一例
Fig. 7. An example of operating result

て 2 進数を考え、各列のこの値を 10 進数で表す。図 6 の例では、 $RC_4=6$, $EP_{4,1}=100$, $EP_{4,2}=75$, $EP_{4,3}=66$, $EP_{4,4}=33$, $EP_{4,5}=76$, $EP_{4,6}=36$ となり、これら相互間の LOGAND をとれば、不要な列線は消去される。これは吸収率の適用に相当する。たとえば、

$$\begin{aligned} EP_{4,1} \text{ logand } EP_{4,6} &= 100 \text{ logand } 36 \\ &= 36 = EP_{4,6} \end{aligned}$$

$$\begin{aligned} EP_{4,2} \text{ logand } EP_{4,3} &= 75 \text{ logand } 66 \\ &= 66 = EP_{4,3} \end{aligned}$$

$$\begin{aligned} EP_{4,4} \text{ logand } EP_{4,6} &= 37 \text{ logand } 36 \\ &= 36 = EP_{4,6} \end{aligned}$$

より、列線 $EP_{4,1}$, $EP_{4,2}$, $EP_{4,4}$ は消去される。実際にはこのようにして残った列線相互間で主閉包集合を作り、最小閉被覆を求めている。

4. 演算結果と検討

このプログラムに従って、パーソナル・コンピュータ PC-9801 (NEC) を用いて MS-DOS 上で実行させた結果をつぎに示す。使用した言語は μ -LISP-86 である。

図 7 は表 1 の状態遷移表で示した不完全指定順序回路にたいするものである。

表 4 プログラム実行用の不完全指定順序回路の 6 つの状態遷移表

Table 4 Six state transition tables to incompletely specified sequential circuits for this program running

問 1	1 2 3 4 5 6	3, 0, -, 2, - -, -, 4, 0, 6, - 5, 1, -, -, -, 0 -, -, 1, 1, 1, - 1, -, -, -, 6, - 4, 0, 5, -, 6, -	問 2	a b c d e f g h	a, 0, -, -, d, 0, e, 1, b, 0, a, -, -, - b, 0, d, 1, a, -, -, -, a, -, a, 1, -, - c, b, 0, d, 1, a, 1, -, -, -, -, -, g, 0 d, -, -, e, -, -, -, b, -, b, 0, -, -, a, - e, b, -, e, -, a, -, -, b, -, e, -, a, 1 f, b, 0, c, -, -, 1, h, 1, f, 1, g, 0, -, - g, -, -, c, 1, -, -, e, 1, -, -, g, 0, f, 0 h, a, 1, e, 0, d, 1, b, 0, b, -, e, -, a, 1
問 3	a b c d e f g	a, 0, -, -, e, -, b, 1 e, -, c, 1, b, -, -, - -, -, b, 0, -, 1, d, 0 a, 0, -, -, f, 1, b, - b, 0, -, -, b, 0, -, - -, -, 1, -, 0, g, 1 d, 1, d, -, -, -, -, 0	問 4	1 2 3 4 5 6	6, 0, 1, 0, 2, 0, 4, 0 -, -, 6, 0, 2, 0, 4, 0 -, -, 1, 0, 3, 0, 4, 0 5, 1, 0, 0, 2, 0, 4, 0 5, 1, 5, 0, 3, 0, 4, 0 1, 0, 6, 0, 3, 0, 4, 0
問 5	a b c d e f g h	-,-,g,0,e,1,d,- a,-,d,-,-,-,-,0 c,-,-,0,-,-,g,1 e,0,-,-,a,-,-,- -,1,f,-,-,1,-,1 -,1,e,-,a,1,-,1 f,-,-,1,b,-,h,- c,-,-,-,a,0,-,-	問 6	1 2 3 4 5 6	-,-,3,1,5,1,2,1 5,0,-,-,-,-,-,- 6,0,6,1,-,-,-,- -, -, -, -, 2, 1, -, - -, -, 6, 0, 1, 0, 4, 1 3, 0, -, -, 2, 0, 3, 1

表5 表4の問題にたいする2つの言語(BASIC, LISP)による演算時間(sec)の比較

Table 5 Comparison of operating times (sec) between two different language programs (BASIC and LISP) for problems in Table 4

問題	言語	除去部まで T_1		被覆部 T_2		計 T_t
		59	0.12	10	0.10	
問1	BASIC	59	0.12	1	8	0.12
	LISP	7				
問2	BASIC	23	0.17	9	0.11	0.16
	LISP	4		1	5	
問3	BASIC	25	0.16	3	0.33	0.18
	LISP	4		1	5	
問4	BASIC	28	0.14	3	0.33	0.16
	LISP	4		1	5	
問5	BASIC	86	0.09	12	0.08	0.09
	LISP	8		1	9	
問6	BASIC	20	0.15	14	0.21	0.18
	LISP	3		3	6	

また、表4に示す6つの不完全指定順序回路の状態遷移表(問1~6)に示されるものについて、このプログラムを実行するのに要した演算時間¹⁰⁾と、全く同じアルゴリズムの下でBASIC言語を用いてプログラムを作成し、同じパソコン・コンピュータで実行した演算時間とを比較した。この結果を表5に示す。この表には、演算開始からPCにたいする除去定理の適用までに要する演算時間 T_1 、それ以後最小閉被覆を求めるまでに要する演算時間 T_2 、および総演算時間 T_t が示してある。この表より、つぎのようなことが言える。

- (a) 言語がBASICであってもLISPであっても T_1 と T_2 の時間比は同じ問題であればそれほど大差はない。
- (b) 総合演算時間 T_t はBASIC言語では問題によって大差を生じ、28 sec~98 secとなり、その比は2.5($=98/28$)となったのにたいし、LISP言語では5 sec~9 secで、その比は1.8($=9/5$)となった。
- (c) BASIC言語プログラムに比し、LISP言語プロ

グラムによる演算時間に著しく向上した。LISP演算時間とBASIC演算時間との比は、 T_1 については約1/6~1/11となり、 T_2 については約1/3~1/13となった。また総合時間 T_t については1/5.5~1/11となり、ほぼ T_1 にたいするものと等しくなった。

以上の結果の中で、(a)の結果は基本アルゴリズムが両方の言語にたいして同じであったため、 T_1 , T_2 を要する時間比率が変わなかったことを物語っている。(b)の結果はBASIC言語よりもLISP言語がこの種の問題処理にあたって問題の複雑度に影響されにくいくこと、換言すればこの種の問題にたいしてはLISP言語の方が適性を持つことを物語っている。さらに(c)の結果に示されるような総合演算時間 T_t の大幅な向上はLISP言語のこの種の問題への適性を物語っている。LISPのように人工知能向け言語として開発された記号処理言語の方が、BASIC言語のような人間向けの言語として開発された数値計算向き高級言語よりも、多くの数の集合を処理するような、すなわち本論文でとり上げられたような問題の計算には適していると言える。

5. 結 言

以上に述べたように、LISP言語によるプログラムの開発によって不完全指定順序回路の内部状態数の最小化の算出時間が大幅に改善された。なお、この論文では特に触れなかったが、6つの問題以外のさらに複雑な問題についてRCの導出は可能であるが、主閉包集合の導出がメモリ不足のため不可能となるという問題が残された。しかし、この問題も解決ずみであり¹²⁾、いずれそのプログラムについても報告する予定である。

なお、本研究のプログラム作成に尽力された昭和61年度卒業研究生の行富信増君と飯田正樹君に謝意を表する。また、昭和59年度卒業研究生の佐藤裕康君と昭和60年度の卒業研究生新川和誠君には本研究の基礎を築いていただいた。記して謝意を表する。

参 考 文 献

- 1) Paul, M.C. and Unger, S.H.: Minimizing the Number of States in Incompletely Specified Sequential Switching Functions, *IRE Trans.*

- Electron. Comput.*, Vol. EC-8, pp. 356-367 (1959).
- 2) Unger, S.H.: Flow Table Simplification -Some Useful Aids, *IEEE Trans. Electron. Comput.*, Vol. EC-14, pp. 472-475 (1965).
 - 3) McClusky, E.J.: Minimum-state Sequential Circuits for a Restricted Class of Incompletely Specified Flow Tables, *B. S. T. J.*, Vol. 41, pp. 1759-1768 (1962).
 - 4) Biswas, N.N.: State Minimization of Incompletely Specified Sequential Machines, *IEEE Trans. Comput.*, Vol. C-23, pp. 80-84 (1974).
 - 5) Rao, C.V.S. and Biswas, N.N.: Minimization of Incompletely Specified Sequential Machines, *IEEE Trans. Comput.*, Vol. C-24, pp. 1089-1100 (1975).
 - 6) 後藤, 小松: 不完全定義順序回路の分類と内部状態最小化のための基本的手法, 昭和 55 年度信学会総全大, 1217 (1980).
 - 7) 後藤: 複雑な形の不完全定義順序回路の内部状態最小化の一手法, 昭和 55 年度信学会総全大, 1216 (1980).
 - 8) 後藤, 日笠山: 両立性対を用いた不完全指定順序回路の最小化手法, 第 31 回情報処理学会全国大会論文集, 3J-10 (1985).
 - 9) 後藤: IMPC と両立性対の使用による不完全指定順序回路の最小化の一手法, 情報処理学会論文誌, Vol. 28, No. 6, pp. 646-657 (1987).
 - 10) 後藤, 行富: 不完全指定順序回路の最小化の新手法の LISP 言語プログラムによる実現, 昭和 62 年電気学会全国大会論文集, 1444 (1987).
 - 11) 後藤, 飯田, 高橋: 不完全指定順序回路の最小化のための 2 つのアルゴリズムの比較, 昭和 62 年信学会総合全国大会論文集, 310 (1987).
 - 12) 後藤: 主閉包集合の上限値設定による不完全指定順序回路の複数最小解の生成法, 情報処理学会論文誌, Vol. 29, No. 9, pp. 873-887 (1988).